

確率有限要素法の構造非線形問題への適用

大阪大学工学部 正員 西村宣男
大阪大学工学部 学生員○西井 学
大阪大学工学部 正員 亀井義典

1. まえがき これまで構造系の材料定数や初期形状が不確定性を有する問題、例えば残留応力や初期変位が確率量で与えられ、構造系の強度が確率量として評価されるべき問題では、モンテカルロシミュレーションにより強度分布を再現するより手だてがなかった。しかし構造系の剛性行列の因子である材料定数や節点座標に不確定性を有する問題では、分布の特性値を摂動パラメータとする摂動法を用い、確定外力に対する確率量として応答値を評価する方法である確率有限要素法 (S.F.E.M.:Stochastic Finite Element Method) の考え方がある。ここでは本手法を非線形問題へ拡張するためのアルゴリズムの開発を行った。

2. 確率構造系への適用 剛性マトリックスの変動は、

期待値 $\bar{0}$ の微少な確率変数を用いて式(1)で表せる。
 K_k^T は α_k の変動に対し線形に作用する 1 次摂動項であり、 K^0 を α_k で微分して求められる。 K_{k1}^T は K^0 を α_k, α_1 で微分した 2 次の摂動項である。また、荷重ベクトル F についても同様な展開が既知であるとする。次に応答(変位)ベクトル U を、確率変数 α_k により式(2)のように仮定する。式(1), (2)を剛性方程式 $F = KU$ に代入し、 α_k に関して各次で等置すれば、確定項 U^0 、1 次変動率 U_k^T 、2 次変動率 U_{k1}^T …が式(3)の様に求められる。マトリックスの演算であるが逆行列は K^0 についてのみ求めればよい。1 次近似法では式(2)の平均と分散は式(4), (5)の様になる。

$$K = K^0 + \sum_{k=1}^n K_k^T \alpha_k + \frac{1}{2} \sum_{k=1}^n \sum_{l=1}^n K_{kl}^T \alpha_k \alpha_l + \dots \quad (1)$$

$$U = U^0 + \sum_{k=1}^n U_k^T \alpha_k + \frac{1}{2} \sum_{k=1}^n \sum_{l=1}^n U_{kl}^T \alpha_k \alpha_l + \dots \quad (2)$$

$$U^0 = (K^0)^{-1} F^0 \quad (3a)$$

$$U_k^T = (K^0)^{-1} (F_k^T - K_k^T U^0) \quad (3b)$$

$$U_{k1}^T = (K^0)^{-1} (F_{k1}^T - K_{k1}^T U^0 - K_k^T U_1^T - K_1^T U_k^T) \quad (3c)$$

.....

$$E(U) = U^0 \quad (4)$$

$$\text{Var}(U) = \sum_{k=1}^n \sum_{l=1}^n U_k^T U_l^T \rho_{kl} \text{Var}(\alpha_k) \text{Var}(\alpha_l) \quad (5)$$

3. 非線形解析への導入 構造非線形問題に S.F.E.M. を適用する場合、全体の計算アルゴリズムは、確定成分の収束計算過程とこれに従属する不確定成分の計算過程に大別できる。前者は従来の非線形解析手法を用いて計算し、確率量としての解の期待値を与える。次に得られた期待値を基に、後者により各次の変動成分が求められる。図-1 に不確定成分の計算アルゴリズムを示す。今 $N-1$ ステップの計算が収束し、ステップ終了後の平衡状態および変動状態が既知とする。ここでまず構造系の含有する変動成分(残留応力、初期たわみ、etc.)を、剛性マトリックスを構成するパラメータの変動に変換し、各確率変数の分散 $\text{Var}(\alpha_k)$ を求める。また入力データとして与えられる変動成分相互の独立、従属の関係から、 α_k と α_1 の相関係数 ρ_{k1} を求めておく。次に N ステップにおける確定構造の収束計算終了後、剛性マトリックスの逆行列 $(K^0)^{-1}$ および変位応答 U^0 と、各変動成分の変動率 K_k^T, K_{k1}^T, \dots および F_k^T, F_{k1}^T, \dots が求められる。これらより N ステップで生じた変位ベクトルの変動率は、式(3)を用いて算出できる。更に変動率 U_k^T, U_{k1}^T, \dots と、相関係数 ρ_{k1} より各自由度の節点変動の平均値と分散が式(4), (5)から求められる。ここで生じた各自由度の変動は $N+1$ ステップに持ち込まれる。このようにして与えられたステップ回数だけ計算を繰り返す。また応答

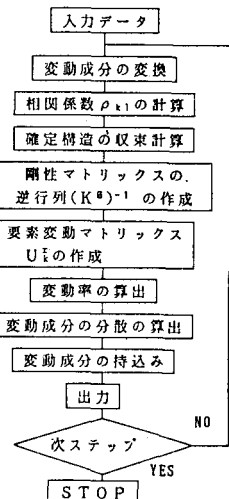


図-1 アルゴリズム

値として極限強度の変動を得るため変位制御による非線形計算法を用い、図-2の様に変位ステップ区間を線形化した。まずN変位ステップ dU_f を与えて収束計算後、前平衡状態からの増分変位 U^0 と増分荷重 F^0 が算出される。次に K^0 は図-2の剛性マトリックス K_1^0, K_2^0 を用いて式(6)で与える。また K_k^0 についても同様に K_{k1}^0, K_{k2}^0 を用いて与える。ここで制御ベクトル f における変位 U_f の変動は生じない条件を式(3)に代入し、荷重変動 F_f が明らかになる。 F_f の平均値と分散は式(7)で得られる。

$$K^0 = \frac{1}{2} \kappa (K_1^0 + K_2^0), \quad \kappa = \frac{F^0}{\{1/2(K_1^0 + K_2^0) \cdot U^0\}_f} \quad (6)$$

K_1^0, K_2^0 : N変位STEP前、後の平衡状態の剛性マトリックス
 $E(F_f) = F^0, \text{Var}(F_f) = \sum_{k=1}^n \sum_{l=1}^n F_{kl}^0 F_{lf}^0 \rho_{kl} \text{Var}(\alpha_k) \text{Var}(\alpha_l) \quad (7)$

4. ミーゼストラスへの適用 図-3に示す様に部材①と②のヤング率 E_1, E_2 が確率変数となっているトラス構造(ミーゼストラス)のモデルを考える。載荷点Cの変位 V と荷重 P の関係は次式で表される。

$$P = \frac{EA}{L^3} V (V - h) (V - 2h) \quad (8)$$

荷重-変位曲線を図-4に示す。 E_1 と E_2 は正規分布とし、その変動特性を以下のように与え、平均値EMと下限値ESは次の値となる。

$$E(\alpha_k) = 1.0, \text{Var}(\alpha_k) = 0.05, \alpha_k = E/E_a, E_a = 2.1 \times 10^6 \text{ (kg/cm}^2\text{)} \\ EM(M) = 2.1 \times 10^6 \text{ (kg/cm}^2\text{)} \quad ES(M-2S) = 1.89 \times 10^6 \text{ (kg/cm}^2\text{)}$$

節点CのY方向変位を制御ベクトルとしてS.F.E.M.を適用し、各変位ステップにおける荷重変動の平均値PMと下限値PSを、1次摂動法で求めた。

E_1 と E_2 が従属な場合: 式(8)より各変位ステップにおいて、 P と E は線形関係にある。従って P は E の分布形に相似な正規分布となり、荷重 P の平均値PMと下限値PSは同じ変位ステップにおいて共にピーク値をとる。更に E_1 と E_2 が従属であるから、 E_1 と E_2 が共に平均値EM、共に下限値ESの時にそれぞれPMとPSを与える。

表-1より各変位ステップでS.F.E.M.はモデルの変動を適切に評価しており、ピーク荷重

(A点)通過後において、変動が減少に転じる部分についても良好に対応している。

E_1 と E_2 が独立な場合: PSを与える E_1 と E_2 の組合せは多数存在する。正規分布表を用いて E_1 と E_2 が等しくなる組合せを求めれば、M-2S相当(ESS)どうしとなる。

$$ESS(M-2S) = 1.9515 \times 10^6 \text{ (kg/cm}^2\text{)}$$

表-2より従属な場合と同様に、独立な場合についてもS.F.E.M.の評価はPM、PSと一致している。また E_1 と E_2 が従属な場合に比べ、分散は幾分小さくなっている。このように入力値、応答値共に正規確率変数となる問題では、確実にその変動を追跡可能である。

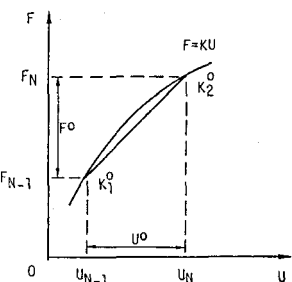


図-2 区間線形化

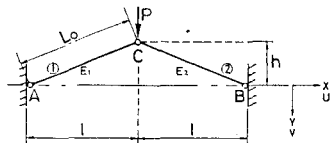


図-3 ミーゼストラス

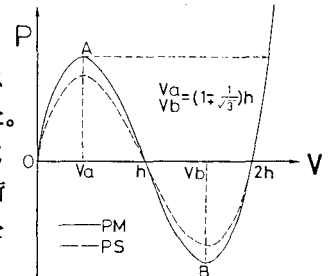


図-4 荷重-変位曲線

表-1 解析結果

(a) E_1 と E_2 が従属な場合			(b) E_1 と E_2 が独立な場合				
STEP(n)	S.F.E.M.(t)	式(8)	STEP(n)	S.F.E.M.(t)	式(8)		
0.01 (0.01)	PM	0.0967544	0.0967955	0.01 (0.01)	PM	0.0967544	0.0967955
	S	0.0048377			S	0.0034208	0.0899510
	PS	0.0870788	0.0871159		PS	0.0899128	
0.01 (0.02)	PM	0.1290101	0.1290153	0.01 (0.02)	PM	0.1290101	0.1290153
	S	0.0064505			S	0.0045612	
	PS	0.1161090	0.1161137		PS	0.1198877	0.1198925
0.001 (0.021)	PM	0.1293104	0.1293252	0.001 (0.021)	PM	0.1293104	0.1293252
	S	0.0064855			S	0.0045718	
	peak	0.1163793	0.1163327		peak	0.1201688	0.1201806
0.001 (0.022)	PM	0.1291414	0.1291571	0.001 (0.022)	PM	0.1291414	0.1291571
	S	0.0064571			S	0.0045658	
	PS	0.1162272	0.1162414		PS	0.1200097	0.1200243
0.001 (0.023)	PM	0.1285208	0.1285373	0.001 (0.023)	PM	0.1285208	0.1285373
	S	0.0064260			S	0.0045439	
	PS	0.1156687	0.1156836		PS	0.1194330	0.1194484
(TOTAL)			(TOTAL)				
S: 標準偏差			S: 標準偏差				